

## خواص فیزیکی کامپوزیت آلومناید تیتانیم-آلومینا

علیرضا کمالی\* و جواد فهیم

دانشگاه صنعتی مالک اشتر، دانشکده مهندسی علم مواد

تاریخ ثبت اولیه: ۸۷/۴/۴، تاریخ دریافت نسخه اصلاح شده: ۸۷/۸/۲۶، تاریخ پذیرش قطعی: ۸۷/۱۰/۵

**چکیده** کامپوزیت‌های آلومناید تیتانیم-آلومینا ( $TiAl(Ti_3Al)-Al_2O_3$ ) نسل جدیدی از مواد پیشرفتی با خواص منحصر به فردند که در کاربردهای دما بالا عملکرد مناسبی دارند. در این مقاله، خواص فیزیکی کامپوزیت تولید شده به روش سنتز احتراقی و پرس گرم بررسی شده است. مطابق نتایج به دست آمده، این کامپوزیت، هادی الکتریسیته است. با وجود این، از نظر هدایت حرارتی غیرهادی به شمار می‌آید. خواص نامبرده برگرفته از ساختار ویژه این کامپوزیت است.

**کلمات کلیدی** کامپوزیت، آلومناید تیتانیم-آلومینا، هدایت حرارتی، هدایت الکتریکی.

## Physical Properties of Titanium Aluminide-Alumina Composite

A.R. Kamali\* and J. Fahim

Faculty of Materials Science Engineering, Malek Ashtar University of Technology

**Abstract** Titanium aluminide-alumina composite is a new category of advanced materials with unique properties titanium and promising performance for high-temperature applications. In this research, the physical properties of these composites are investigated. The composites were prepared by hot pressing of a powder mixture produced by combustion synthesis. According to the results, this composite exhibits electrical conductivity; however, no thermal conductivity is observed.

**Keywords** Composite, Titanium Aluminide-Alumina, Thermal Conductivity, Electrical Conductivity.

\*عهده‌دار مکاتبات

نشانی: اصفهان، شاهین شهر، دانشگاه صنعتی مالک اشتر، دانشکده مهندسی علم مواد.

تلفن: ۰۳۱۲\_۵۹۱۲۴۳۷، دورنگار: ۰۳۱۲\_۵۹۱۲۴۳۷، پیام‌نگار: alirezakam@yahoo.com

شد:

**۱\_ مقدمه**

در محفظه مذکور، مواد اولیه پس از اختلاط در داخل بوته آلمینایی ریخته می‌شوند و با یک کوبه تحت کوبش قرار می‌گیرند. سپس یک درپوش آلمینایی بر روی بوته گذاشته می‌شود و بوته داخل یک محفظه فولادی قرار می‌گیرد. فضای خالی داخل محفظه فولادی با پودر آلمینا پر می‌شود. سپس درپوش محفظه فولادی از محل فلنج‌های تعییه شده بر روی محفظه به آن پیچ می‌شود. در این تحقیق آنالیز فازی با یک دستگاه پراش اشعه ایکس(XRD) و با اشعه Cu(Kα) انجام شد. مشاهدات میکروسکوپی نیز با میکروسکوپ نوری مدل ZEISS میکروسکوپ الکترونی روبیشی(SEM) مدل زیمنس و میکروسکوپ الکترونی عبوری(TEM) مدل CEM 902A با قدرت 100KV انجام شد. پس از تولید پودر کامپوزیتی در مقیاس نانومتری، فرآیند چگالش با استفاده از کوره پرس گرم ساخت شرکت ASTRO کشور آمریکا در دمای ۱۳۵۰ درجه سانتی گراد به مدت ۱۰ دقیقه و تحت فشار ۶ مگاپاسکال انجام شد.

هدايت الکتریکی<sup>(۵)</sup> در دمای محیط با قانون ویدمن-فرانز [۱۳] و براساس رابطه زیر اندازه گیری شد:

$$\sigma = (\Delta L/A) \times (I/\Delta V) \quad (\text{رابطه ۲})$$

در این رابطه  $\Delta V$  اختلاف پتانسیل،  $\Delta L$  طول نمونه و  $I$  جریان گذرنده از سطح مقطع  $A$  است. در شکل ۱ نمایی از سیستم اندازه گیری هدايت الکتریکی نشان داده شده است. همچنین هدايت الکتریکی نمونه ها مطابق با استاندارد ASTM E-1461 با یک دستگاه آنالیزگر خواص حرارتی مدل FLASHLINE TM 2000 انجام شد.

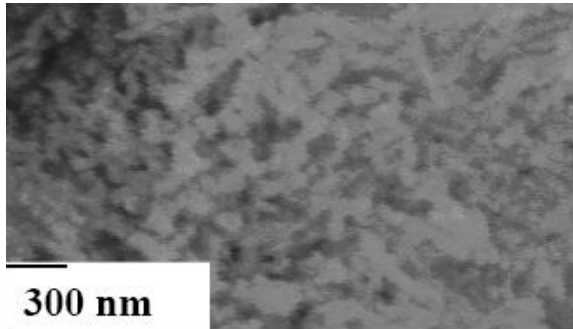
آلیاژهای برپایه ترکیب بین فلزی TiAl به دلیل خواص مکانیکی جالب مواد مناسبی برای ساخت قطعاتی مانند پرهای توربین اند. آلیاژهای آلمیناید تیتانیم استحکام بالای دارند که آن را تاحدود نقطه ذوب خویش حفظ می‌کنند [۳-۱]. از سوی دیگر کامپوزیت های زمینه بین فلزی نسل جدیدی از کامپوزیت ها با خواص جذاب اند. کامپوزیت های آلمیناید تیتانیم آلمینا جذابیت خاصی برای استفاده در کاربردهای دمای بالا دارند [۴]. این دسته از کامپوزیت ها به دلیل مقاومت به اکسیداسیون خوب و همچنین تطابق مطلوب میان ضرایب انبساط حرارتی اجزای تشکیل دهنده، مورد توجه محققان هستند [۷-۴].

تولید این کامپوزیت ها روش های مختلفی داشته [۹،۸] و بررسی خواص مکانیکی این کامپوزیت ها بسیار مورد توجه بوده است [۱۱،۱۰]. از سوی دیگر با این که بررسی خواص فیزیکی آنها برای کاربردهای عملی بسیار مهم است، خواص آنها کمتر مورد توجه محققان بوده است.

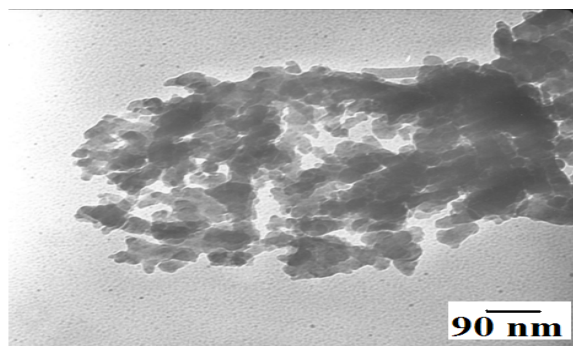
در این تحقیق خواص حرارتی و الکتریکی کامپوزیت آلمیناید تیتانیم آلمینای تولید شده با روش سنتز احتراقی و سپس فرآیند پرس گرم بررسی شده است.

**۲\_ نحوه انجام آزمایش**

مواد اولیه این تحقیق پودرهای دی اکسید تیتانیم ( $100\mu\text{m}$ ) و ( $95/99\%$ )، آلمینیوم ( $150\mu\text{m}$ ) و ( $98/99\%$ ) و پرکلرات پتانسیم ( $150\mu\text{m}$ ) و ( $99/99\%$ ) است. فرایند سنتز احتراقی در یک کوره مافلی (زمینی) با استفاده از نرخ گرمایش  $20^{\circ}\text{C}/\text{min}$  در محفظه واکنش [۱۲] بر اساس رابطه ۱ انجام



شکل ۳. تصویر میکروسکوپ الکترونی رویشی از پودر تولیدی.



شکل ۴. تصویر میکروسکوپ الکترونی عبوری پودر تولیدی.

قطعه تف جوشی شده در مقایسه با پودر سinter شده اولیه است. بدنه تولید شده مشکل از فازهای مختلفی اعم از  $\text{Al}_2\text{TiO}_5$ ,  $\text{Al}_2\text{O}_3$  و  $\text{Al}_2\text{Ti}_7\text{O}_{15}$ ,  $\text{TiAl}$ ,  $\text{Al}_2\text{Ti}_7\text{O}_{15}$  است. از طرفی نتایج بررسی های میکروسکوپ نوری (شکل ۶) و همچنین میکروسکوپ الکترونی رویشی به همراه آنالیز خطی (شکل ۷) گویای ایجاد یک ساختار کامپوزیتی است.

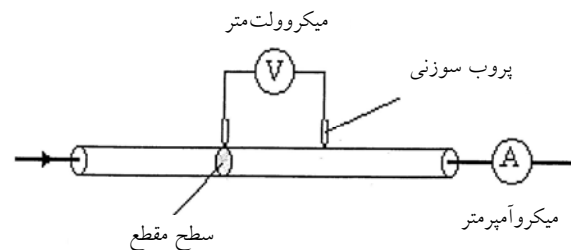
کامپوزیت مذکور مشکل از دو فاز پیوسته آلمیناید تیتانیم و آلومنیاست. پیوستگی این فازها کاملاً مشهود است و با کامپوزیت های تولید شده تا به امروز متفاوت است.

براساس شکل ۵ فازهای اکسیدی  $\text{Al}_2\text{TiO}_5$  و  $\text{Al}_2\text{Ti}_7\text{O}_{15}$  با تف جوشی به وجود آمده است. تشکیل این فازها براساس

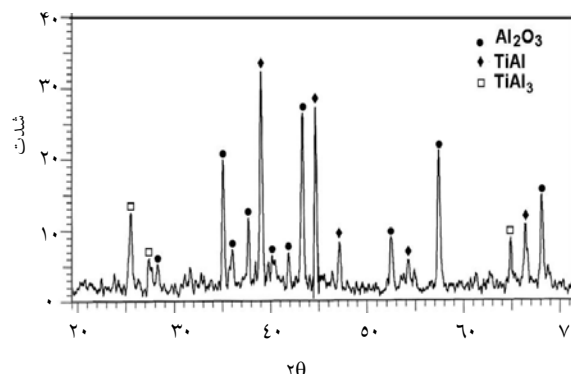
### ۳- نتایج و بحث

شکل ۲ نتایج آنالیز پراش اشعه ایکس (XRD) از محصول پودر سinter شده اولیه را نشان می دهد. این پودر مخلوطی از ترکیبات بین فلزی  $\text{TiAl}_3$ ,  $\text{TiAl}$  و آلومنیا ( $\text{Al}_2\text{O}_3$ ) است. تصاویر میکروسکوپ الکترونی رویشی (شکل ۳) و همچنین میکروسکوپ الکترونی عبوری (شکل ۴) میبن توکید پودر کامپوزیتی آلمیناید تیتانیم-آلومنیا در مقیاس نانومتری است. مطابق با شکل های ۲ و ۴، پودر تولید شده مشتمل بر آگلومره های ۳۰۰ نانومتری است که خود از ذراتی با اندازه دانه تقریبی ۳۰ نانومتر تشکیل شده اند.

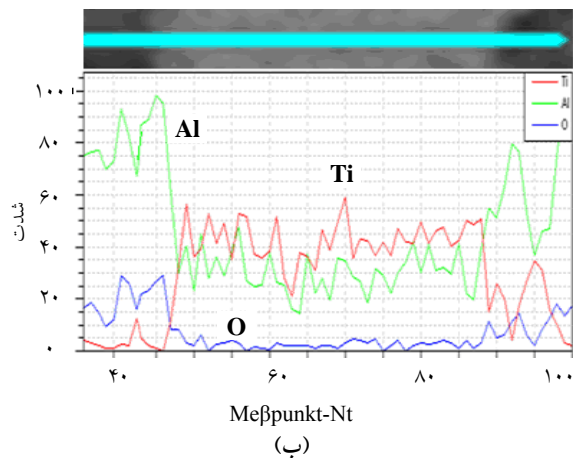
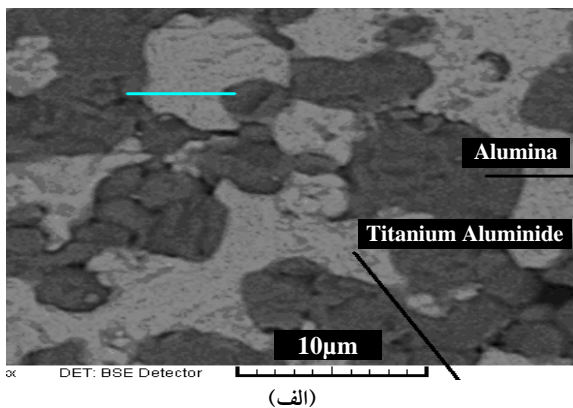
شکل ۵، نمایی از الگوی پراش اشعه ایکس (XRD) از



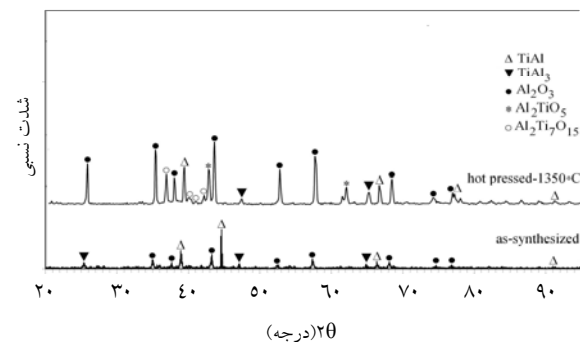
شکل ۱. نمایی از سیستم اندازه گیری هدایت الکتریکی.



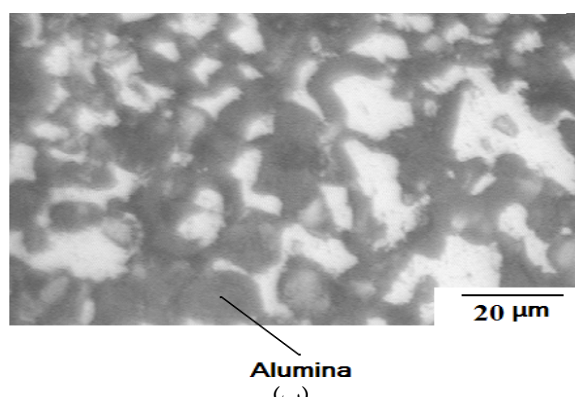
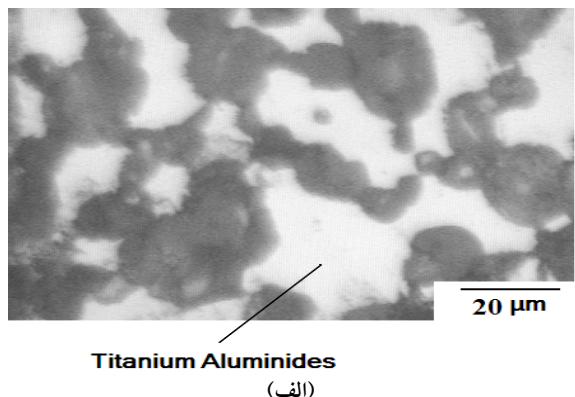
شکل ۲. الگوی پراش اشعه ایکس محصول پودری.



شکل ۷. (الف) تصویر میکروسکوپ الکترونی رویشی از محصول و (ب) آنالیز خطی تصویر.



شکل ۵. الگوی پراش اشعه ایکس از محصول فرآیند پرس گرم در دمای ۱۳۵۰°C در مقایسه با پودر سنتز شده اولیه.



شکل ۶. تصاویر میکروسکوپ نوری از محصول کامپوزیتی پس از فرآیند پرس گرم در دمای ۱۳۵۰°C.

شکل ۷ قابل بررسی است.

مطابق با شکل ۷ میزان اکسیژن از فاز آلومیناید تیتانیم به سمت آلومینا به تدریج افزایش یافته است. افزایش میزان تدریجی اکسیژن نشان می دهد که احتمالاً ترکیبات  $\text{Al}_2\text{TiO}_5$  و  $\text{Al}_2\text{Ti}_7\text{O}_{15}$  در حین پرس گرم در فصل مشترک فازهای آلومینا و ترکیبات بین فازی آلومیناید تیتانیم ایجاد شده اند.

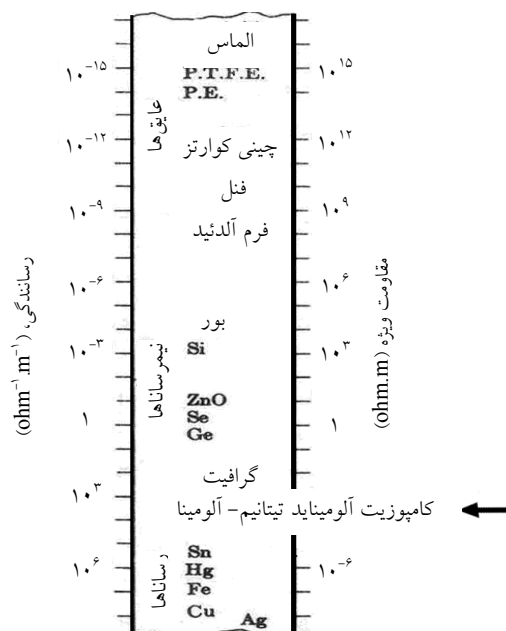
در این پژوهش، خواص حرارتی و الکتریکی کامپوزیت آلومیناید تیتانیم آلومینای تولیدی اندازه گیری شد. نتایج این اندازه گیری ها در مقایسه با سازنده های کامپوزیت مزبور در جدول ۱ آمده است. در این جدول همچنین چگالی مواد درج

تحت تأثیر فاز پیوسته آلومیناید تیتانیم است. از سوی دیگر این کامپوزیت از لحاظ حرارتی غیرهادی است؛ بنابر این هدایت حرارتی کامپوزیت تحت تأثیر فاز پیوسته آلومیناست.

شده است. در شکل ۸ رسانندگی و مقاومت ویژه مواد با هم مقایسه شده است. مطابق شکل ۸ کامپوزیت تولیدی از نظر الکتریکی هادی است؛ بنابر این هدایت الکتریکی کامپوزیت

جدول ۱. خواص حرارتی و الکتریکی کامپوزیت آلومیناید تیتانیم-آلومینا در مقایسه با اجزاء سازنده آن.

ماده	چگالی (g/cm <sup>3</sup> )	هدایت حرارتی (w/mk)	هدایت الکتریکی ( $\Omega\text{cm})^{-1}$
کامپوزیت تولیدی	۴/۰۱	۶	۲۰۲۹
ترکیب بین فلزی آلومیناید تیتانیم [۱۴]	۳/۹	۱۳	۱۱۰۰۰
تیتانیم [۱۵]	۴/۵۱	۲۲	۲۳۴۰۰
آلومینیم [۱۵]	۲/۷	۳۱۷	۳۷۷۰۰
آلومینا [۱۵]	۳/۸	۵	$10^{-14}$



شکل ۸. رسانندگی و مقاومت ویژه کامپوزیت تولیدشده در مقایسه با خواص برخی مواد [۱۴].

## ۴- نتیجه‌گیری

- Aluminides”, *J. of Material Science*, Vol. 27 (1992) 5113-5140.
6. Jonas, A., The Future of High Temperature Aerospace Materials, Advanced Engineering Materials, the University of Kansas Department of Aerospace Engineering, (2003).
  7. Peng, L.M., Lia, Z., Lib, H., Wang, J.H. and Gong, M., “Micro Structural Characterization and Mechanical Properties of TiAl-Al<sub>2</sub>Ti<sub>4</sub>C<sub>2</sub>-Al<sub>2</sub>O<sub>3</sub>-TiC in Situ Composites by Hot-Press-Aided Reaction Synthesis”, *J. of Alloys and Compounds*, Vol. 414 (2006) 100-106.
  8. Claussen, N., Garcia, D.E. and Jansen, R. “Alumina-Ti Aluminide Interpenetrating Composites, Microstructure and Mechanical Properties”, *J. of Material Letters*, Vol. 57 (2003) 3422-3426.
  9. Wagner, F., Garcia, D. E., Krupp, A. and Claussen, N., “Interpenetrating Al<sub>2</sub>O<sub>3</sub>-TiAl<sub>3</sub> Alloys Produced by Reactive Infiltration”, *J. of Eur. Ceram. Soc.*, Vol. 19 (1999) 2449-2453.
  10. Valery, I., Renat, I. and Andrey, K., “Mechanical Properties of Thermomechanically Treated Ti-rich  $\gamma+\alpha_2$  Titanium Aluminide Alloys”, *J. of Scripta Materialia*, Vol. 49 (2003) 1047-1052.
  11. Arno, B., Heinrich, K. and Helmut, C., “Deformation Behavior of Differently Processed Y-Titanium Aluminides”, *J. of Materials Science and Engineering: A*, Vol. 329-331 (2002) 153-162.
  12. Kamali, A., Razavizadeh, H. and Hadavi, S.M., Simultaneous Production of TiAl and CaAl<sub>4</sub>O<sub>7</sub>, AU Patent No: 2005100278 B4, (2005).
  13. Thermal and Electrical Conductivity of Metals, PHYWE Series of Publications Laboratory Experiments, Physics, PHYWE SYSTEME GMBH, 37070 Gottingen, Germany.
  14. Kainuma, R., Fujita, Y., Mitsui, H., Ohnuma, I. and Ishida, K., “Phase Equilibria Among  $\alpha$  (hcp),  $\beta$  (bcc),  $\gamma$  (L1<sub>0</sub>) Phases in Ti-Al Base Ternary Alloys”, *J. of Intermetallics*, Vol. 8 (2000) 855-867.
  ۱۵. لارنس اچ. ونولک؛ اصول مهندسی و علم مواد، ترجمه دکتر فخرالدین اشرفیزاده، فریبا سعادت، اردشیر طهماسبی و احمد منشی، (۱۳۷۶)، ایران، تهران.

اعمال فرآیند ستر احتراقی بر مخلوط پودری TiO<sub>2</sub>/Al/KClO<sub>4</sub> منجر به تولید پودر نانومتری آلمیناید تیتانیم آلمینا می‌شود. با اعمال فرآیند پرس‌گرم بر روی پودر تولیدی، کامپوزیتی مشکل از فازهای پیوسته آلمیناید تیتانیم و آلمینا تولید می‌شود. مطابق با نتایج به دست آمده، کامپوزیت نامبرده از نظر هدایت حرارتی متأثر از فاز پیوسته آلمینا و از نظر هدایت الکتریکی متأثر از فاز پیوسته آلمیناید تیتانیم است.

## مراجع

1. Zhang, W.J., Reddy B.V. and Deevi, S.C., “Physical Properties of TiAl-Based Alloys”, *J. of Scripta Materialia*, Vol. 45 (2001) 645-651.
2. Fanta, G., Bohn, R., Dahms, M., Klassen, T. and Bormann, R., “The Effect of Ultra Fine Grained Microstructure on the Hot-Workability of Intermetallic Ceramic Composites Based on  $\gamma$ -TiAl”, *J. of Intermetallics*, Vol. 9 (2001) 45-49.
3. Li, Z.W., Gao, W., Zhang, D.L. and Cai, Z.H., “High Temperature Oxidation Behavior of a TiAl-Al<sub>2</sub>O<sub>3</sub> Intermetallic Matrix Composite”, *J. of Corrosion Science*, Vol. 46 (2004) 1997-2007.
4. Travitzky, N., Gotman, I. and Claussen, N., “Alumina-Ti Aluminide Interpenetrating Composites, Microstructure and Mechanical Properties”, *J. of Materials Letters*, Vol. 57 (2003) 3422-3426.
5. Fores, F.H., Suryanarayana, C. and Eizerer, D., “Review Synthesis, Properties and Application of Titanium